

## پیش‌بینی انتقال حرارت تشعشعی از گازهای احتراق دریک نازل همگرا- واگرabe روش ناحیه بندی

علی اصغر رستمی<sup>\*</sup> - محمد پسندیده فرد<sup>\*\*</sup>

### چکیده

در این مقاله، انتقال حرارت تشعشعی حاصل از محصولات احتراق به دیواره نازل دریک موتور راکت، با استفاده از روش ناحیه بندی، مورد مطالعه قرار گرفته است. درجه حرارت و فشار گاز در هر مقطع با استفاده از روابط جریان ایزونتروپیک یک بعدی سیال تراکم پذیر دریک نازل همگرا- واگرabe دست آمده‌اند. روش تعیین ضریب صدور کلی گازهای حاصل احتراق، به خصوص در فشارهای بالای داخل راکت، مورد تأکید و توجه خاص قرار گرفته است. حجم گاز در طول نازل به تعدادی اجزای کوچک تقسیم شده به طوری که در هر جزء فرض شده است که فشار و درجه حرارت در عرض مقطع یکنواخت هستند. معادلات به دست آمده برای این حجمها به روش عددی حل شده‌اند. مقدار انتقال حرارت تشعشعی که برای یک نازل نمونه محاسبه شده، در حدود مقادیری است که در مراجع دیگر آمده است.

### مقدمه

انتقال حرارت محصولات احتراق راکت به دیواره نازل یک پدیده نامطلوب تلقی می‌شود که موجب افزایش هزینه‌های مربوط به جنس ماده و ساختمان نازل می‌گردد. هر چند نیز این انتقال حرارت حدود ۵ درصد کل انرژی آزاد شده دراثر تحول احتراق است، با این وجود به اندازه‌ای است که می‌تواند با ایجاد ترک در پوسته نازل موجب از کارافتادن موتور گردد.

قسمت اعظم این انتقال حرارت به صورت جابجایی از گازهای حاصل احتراق به پوسته نازل

\* دانشیار دانشکده مهندسی مکانیک - دانشگاه صنعتی اصفهان

\*\* فارغ‌التحصیل دانشکده مهندسی مکانیک - دانشگاه صنعتی اصفهان

صورت می‌پذیرد، درحالی که تشعشع حرارتی ممکن است ۵ تا ۳۵ درصد آن را تشکیل دهد [۱]. میزان انتقال حرارت تشعشعی به نوع سوخت، اکسیدکننده، درجه حرارت و فشارگاز در اطاق احتراق بستگی دارد.

در غالب مطالعاتی که در رابطه با مدل‌سازی انتقال حرارت تشعشعی در اطاق‌های احتراق انجام شده است، از اثرات متقابل تشعشع و توربولانس صرف نظر شده است ([۲] و [۳]). به طور کلی این تأثیرات متقابل بیشتر در شعله های درخشنan<sup>۱</sup> اهمیت دارند تا در شعله های غیر درخشنan<sup>۲</sup>.

معادله انتقال تشعشعی<sup>۳</sup> به صورت دیفرانسیلی - انتگرالی است و حل این معادله حتی برای اشکال هندسی یک بعدی، صفحه‌ای و ماده خاکستری نیز سیار مشکل است. ضمناً "اغلب سیستمهای احتراقی مهندسی چند بعدی بوده و خواص تشعشعی گازهای طیفی (وابسته به طول موج) است و این ویژگیها مسئله را پیچیده ترمی‌کنند. به همین دلیل یک راه حل کلی که برای تمام شرایط احتراق قابل استفاده باشد عملاً غیرممکن است. درنتیجه راه حل‌های مختلفی در سالهای اخیر به کار گرفته شده است. از جمله این راه حلها، حل دقیق معادله انتقال تشعشعی با استفاده از فرضیات ساده کننده، روش آماری مانند روش مونته کارلو<sup>۴</sup>، روش ناحیه بندی<sup>۵</sup> و روش فلو<sup>۶</sup> رامی توان ذکر کرد [۴]. انتخاب یکی از این روش‌های نوع اطاق احتراق، مشخصات گاز، میزان دقت مورد نیاز و امکانات کامپیوتری بستگی دارد. روش‌های ناحیه بندی و مونته کارلو به دلیل دقت مناسب نتایج آنها بیشتر از سایر روش‌های کار گرفته شده‌اند.

دقت نتایج به دست آمده از حل معادله انتقال تشعشعی قویاً به دقت خواص تشعشعی به کار گرفته گاز بستگی دارد. محصولات احتراق معمولاً از ترکیبات مختلفی از قبیل دی اکسیدکربن، بخار آب، منوكسیدکربن، دی اکسید سولفور و ذرات معلق مانند دوده تشکیل شده است. هر یک از این اجزا از لحاظ تشعشعی در طول موج‌های معین فعال هستند و خواص تشعشعی گاز، حاصل اثرات تمام این اجزاست. علاوه بر آن، خواص تشعشعی گازیه فشار جزئی هرجزء و فشار کل و درجه حرارت مخلوط بستگی دارد. اولین قدم در محاسبه ضریب صدور گاز، محاسبه فشار جزئی هرجزء با توجه به نوع سوخت و شرایط احتراق مانند نسبت اکسیدکننده به سوخت، فشار کل و درجه حرارت مخلوط

---

1. Luminous

2. Nonluminous

3. Radiative Transfer Equation

4. Monte Carlo

5. Zoning Method

6. Flux

است. معمولاً "گازها، تشعشع را پراکنده" نمی‌کنند ولی وابستگی طیفی<sup>۱</sup> آنها بایستی در نظر گرفته شود.

در این مقاله، طول نازل رابه حجم‌های کوچک ایزوترم تقسیم کرده و با استفاده از مدل ناحیه بندي هاتل نرخ انتقال حرارت تشعشعی از این المانهای حجم به کل سطح نازل را محاسبه می‌کیم. نتایج برای درجه حرارتهای مختلف سطح دیواره به دست آمده و با نتایج مرجع [۱] مقایسه شده است. اثرات فشار بالای گاز و درجه حرارت بر ضریب صدورکلی مورد توجه خاص قرار گرفته است.

#### ضریب صدور گاز

ضریب صدورکلی نیمکره‌ای یک حجم ایزوترم گاز عبارت است از نسبت کل انرژی صادره از آن حجم به انرژی صادره از یک جسم سیاه در همان درجه حرارت گاز. در محاسبات مهندسی مقدار این کمیت را از رابطه زیر می‌توان به دست آورد:

$$\epsilon_g = 1 - \exp(-aL_e) \quad (1)$$

که در آن  $\epsilon_g$  ضریب جذب متوسط گاز<sup>۲</sup> و فقط تابعی از فشار و درجه حرارت و جنس گاز است.  $L_e$  هم طول معادل محفظه حاوی گاز است. برای به دست آوردن ضریب صدورکلی نیمکره‌ای گازهادر فشارهای کم، معمولاً از منحنیهای هاتل<sup>۳</sup> استفاده می‌شود. برای مخلوطی از دی اکسید کربن و بخار آب موجود در محصولات احتراق، ضریب صدور مؤثر گاز برابر است با:

$$\epsilon_g = C_{CO_2} \epsilon_{CO_2} + C_{H_2O} \epsilon_{H_2O} - C_{CO_2} C_{H_2O} \Delta \epsilon \quad (2)$$

اما رابطه فوق برای مسئله مورد مطالعه ما که در آن فشار خیلی زیاد است (حدود ۶۰ اتمسفر) مغاید نیست. در مرجع [۱۰]، تأثیر فشار بر ضریب صدور مؤثر و مطالعاتی که در این زمینه صورت گرفته برای گازهای درخشان و غیر درخشان بیان شده است. اگر به منحنیهای ضرایب تصویح  $C_{H_2O}$  و

1. Scatter

2. Spectral

3. Mean Absorption Coefficient

4. Hottel

در مرجع [۷] نگاه کنیم، می‌بینیم که این ضرایب در فشار حدود ۵ اتمسفری به بیش از ۱/۵  $C_{CO_2}$  می‌رسد؛ یعنی ضریب صدور مؤثر گاز در این فشار حدوداً ۱/۵ برابر فشاریک اتمسفر است. لذا فشار قطعاً باستی ملاحظه شود.

برای گازهای غیر درخشان در فشارهای بیش از ۱۰ اتمسفر ضرایب تصحیح  $C_{H_2O}$  به ۱/۴۲ و  $C_{CO_2}$  به ۱ میل کرده و از آن به بعد ثابت می‌مانند [۶].

درنتیجه معادله (۲) به صورت زیر درمی‌آید:

$$\epsilon_g = \epsilon_{CO_2} + 1.42 \epsilon_{H_2O} - 1.42 \Delta \epsilon \quad (3)$$

علاوه بر آن، مقدار  $\Delta \epsilon$  در درجه حرارتی‌ای بیشتر از K ۱۲۰۰ ثابت و برابر با ۰/۰۵۴ است. از طرف دیگر در گازهای درخشان، تشعشع صادره از ذرات معلق<sup>۱</sup> راهم باستی در نظر گرفت. برای گاز درخشان ضریب درخشندگی  $\epsilon_L$  نیز به حساب می‌آید که مقدار آن به نسبت جرمی کربن به هیدروژن در سوخت بستگی دارد. لفور<sup>۲</sup> ضریب درخشندگی را به صورت زیر تعریف کرده است [۶]:

$$L_f = 7.53 (C/H - 5.5)^{0.84} \quad (4)$$

آنگاه، ضریب صدور را بدین صورت بدست آورده‌است:

$$\epsilon_l = 1 - \exp [-290 P_t L_f (q L_e)^{0.5} T_g^{-1.5}] \quad (5)$$

که در آن  $q$  نسبت سوخت به هوا،  $P_t$  فشار کل گاز بر حسب K و  $L_e$  طول متوسط تشعشع بر حسب متراست. مقدار  $L_f$  تقریباً مستقل از فشار است. اشکال استفاده از معادله (۵) آن است که مقدار  $q$  در آن باید مشخص باشد. یعنی تنها در مورد اجترافقی که اکسید کننده آن هواباشد قابل استفاده خواهد بود. با قراردادن  $q = 1$  در معادله (۵) ضریب صدور گاز غیر درخشان به دست می‌آید. در هر صورت معادله (۵) تأثیر درخشندگی گاز را تنها با طریق ضریب  $\epsilon_L$  به حساب می‌آورد.

باین نتیجه به این نکته می‌توان رابطه‌ای بین ضریب صدوریک گازدرخشان و یک گازغیردرخشان به دست آورد. اگر  $\epsilon_g$  ضریب صدورگازغیردرخشان باشد، با قراردادن  $L_f = 1$  در معادله (۵) داریم:

$$\epsilon_g = 1 - \exp [-290 P_t (q L_e)^{0.5} T_g^{-1.5}]$$

که از آن نتیجه می‌شود:

$$1 - \epsilon_g = \exp [-290 P_t (q L_e)^{0.5} T_g^{-1.5}]$$

یا

$$(1 - \epsilon_g)^{L_f} = \exp [-290 P_t L_f (q L_e)^{0.5} T_g^{-1.5}] \quad (6)$$

با استفاده از معادله (۵) می‌توان نوشت:

$$(1 - \epsilon_g)^{L_f} = 1 - \epsilon_l$$

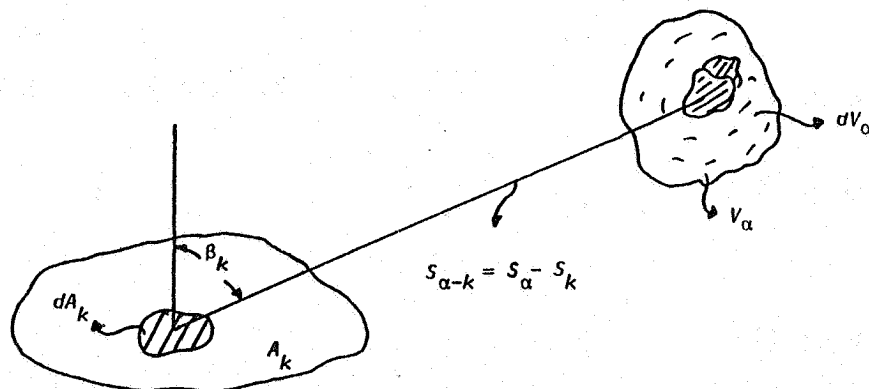
یا

$$\epsilon_l = 1 - (1 - \epsilon_g)^{L_f} \quad (7)$$

به این ترتیب رابطه‌ای به دست می‌آید که به کمک آن می‌توان ضریب صدورگازدرخشان  $\epsilon_g$  را برحسب ضریب صدورگازغیردرخشان  $\epsilon_l$  محاسبه کرد. اهمیت معادله (۷) در آن است که در این معادله نیازی به دردست داشتن نسبت سوت به هوایا  $q$  نیست. این رابطه برای تمام فشارها برقرار است و در هر فشاری بایستی  $\epsilon_g$  را در همان فشاربرای گازغیردرخشان به دست آورد. مثلاً در فشارهای بیش از ۱۰ اتمسفر، برای محاسبه  $\epsilon_g$  می‌توان از معادله (۳) استفاده نمود. هم از معادله (۴) به دست می‌آید.

### روش محاسبه انتقال حرارت تشعشعی

روشهای ناحیه بندی و مونته کارلو دقیق‌ترین روش‌های محاسبه انتقال حرارت تشعشعی در گازهای غیرایزوترم هستند، به نحوی که مبنای مقایسه سایر روش‌های متداول بوده و دقت روش‌های دیگر با این دوروش سنجیده می‌شود[۴]. از این گذشته، روش ناحیه بندی روشی است عملی که در محاسبات تبادل حرارت تشعشعی در سیستمهای عملی مهندسی بیشتر از سایر روش‌های کارگرفته می‌شود. در این روش، سطح محفظه و حجم گازی تعدادی نواحی کوچک تقسیم می‌شوند، به طوری که در هر ناحیه توزیع دما و خواص تشعشعی یکنواخت فرض شده‌اند. المان حجم ایزوترم  $V_\alpha$  و سطح ایزوترم  $A_k$  (روی دیواره محفظه) را مطابق شکل ۱ در نظر بگیرید. نرخ انتقال حرارت تشعشعی که در طول موج  $\lambda$  از المان حجم  $V_\alpha$  به سطح  $A_k$  وارد می‌شود برابر است با:



شکل ۱- المان حجم  $V_\alpha$  و سطح  $A_k$  در یک محفظه

$$q_{\lambda i, \alpha-k} \cdot A_k = \overline{g_\alpha s_k} \cdot T_\alpha^4 \quad (8)$$

که در آن  $\overline{g_\alpha s_k}$  ضریب تبادل مستقیم بین  $V_\alpha$  و  $A_k$  است و به صورت زیر تعریف می‌شود:

$$\overline{g_\alpha s_k} = \frac{a}{\pi} \int_{V_\alpha} \int_{A_k} \frac{\cos(\beta_k)}{S_{\alpha-k}^2} \tau_\lambda(S_{\alpha-k}) \cdot dA_k \cdot dV_\alpha \quad (9)$$

کل تشعشع وارد به  $A_k$  از تمام حجم گاز محفظه‌ای که از  $M$  المان حجم ایزوترم  $V_\alpha$  تشکیل شده است، عبارت خواهد بود:

$$q_{i,k} \Big|_g = \frac{1}{A_k} \sum_{\alpha=1}^M \overline{g_\alpha s_k} \cdot \sigma \cdot T_\alpha^4 \quad (10)$$

بادرنظر گرفتن تشعشعی که از سطوح ایزوترم دیگر به  $A_k$  می‌رسد، خواهیم داشت:

$$q_{i,k} = q_{i,k} \Big|_g + q_{i,k} \Big|_s = \frac{1}{A_k} \left[ \sum_{\alpha=1}^M \overline{g_\alpha s_k} \cdot \sigma \cdot T_\alpha^4 + \sum_{j=1}^N \overline{s_j s_k} \cdot q_{0,j} \right] \quad (11)$$

که در آن سطح محفظه به  $N$  المان ایزوترم  $s_j$  تقسیم شده است. ضریب تبادل مستقیم بین سطوح  $j$  و از رابطه زیر به دست می‌آید:

$$\overline{s_j s_k} = \int_{A_j} \int_{A_k} \frac{\cos(\beta_k) \cdot \cos(\beta_j)}{s_j^2 - k} \tau_\lambda(s_{j-k}) dA_k \cdot dA_j \quad (12)$$

علاوه بر معادله (11) دومعادله دیگر نیز برای المان سطح  $k$  می‌توان نوشت که عبارتنداز:

$$q_{0,k} = \varepsilon_k \cdot \sigma \cdot T_k^4 + (1 - \varepsilon_k) \cdot q_{i,k} \quad (13)$$

$$q_k = q_{0,k} - q_{i,k} \quad (14)$$

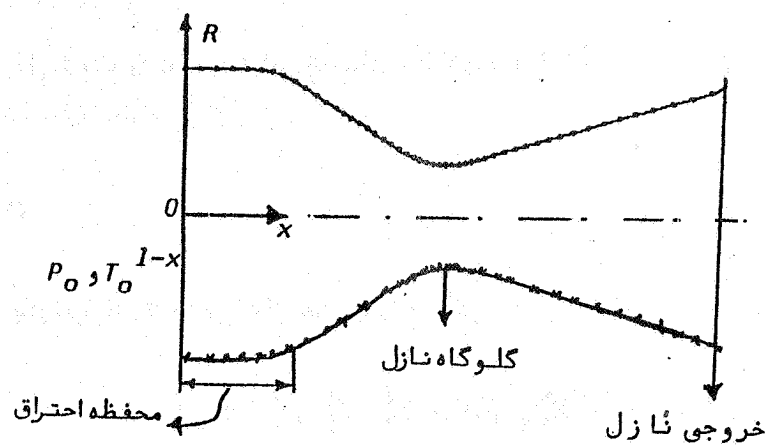
که در آنها،  $q_{0,k}$  شدت تشعشع خروجی از سطح  $k$  است که از دو جمله صدور و انعکاس انرژی تشکیل شده است و  $q_k$  شدت تشعشعی خالصی است که به سطح  $A_k$  می‌رسد.

معادلات انتقال حرارت تشعشعی برای یک شیپوره همگرا- واگرامطابق شکل ۲ حل شده‌اند.

مقدار  $(x)$  در طول نازل معلوم است. درصد گازهای مختلف در محصولات احتراق، نسبت

گرمایی ویژه گاز  $K_{av} = C_p / C_v$  و درجه حرارت و فشار سکون گاز  $T_0$  و  $P_0$  قبل از دوره نازل را

معلوم فرض می‌کنیم. برای حل مسئله، فرضیاتی درنظر گرفته شده که اهم آنها به قرار زیر است:



شکل ۲- نمودار هندسی یک نازل همگرا - واگرا

- ۱- از تغییرات خواص ترمودینامیکی مانند درجه حرارت، فشار وغیره درجهت شعاعی صرف نظر می کنیم.
- ۲- فرآیندانبساط گاز در نازل به صورت ایزنتروپیک است. همان طوری که در مقدمه بیان شد کمتر از ۵ درصد انرژی موجود در محصولات احتراق به پوسته نازل منتقل می شود ولذا این فرض چندان نامعقول به نظر نمی رسد.
- ۳- به علت وجود دوده و رسوب آن روی سطح داخلی نازل، این سطح راسیاه در نظر می گیریم.
- ۴- گاز راماده‌ای خاکستری فرض می کنیم که خواص تشعشعی آن مستقل از طول موج است. وجود دوده در گاز صحبت این فرض را بیشتر توجیه می کند.
- ۵- با توجه به زیاد بودن فشار و درجه حرارت سکون، عدد ماخ در گلوگاه نازل را برابر ۱ می گیریم.  
با توجه به فرضیات اخیر مراحل زیر در محاسبات نرخ انتقال حرارت تشعشعی از گازیه پوسته نازل طی شده است:

  - ۱- طول نازل به تعدادی حجم‌های کوچک استوانه‌ای ایزوترم و سطوح حلقوی تقسیم شده است. در نزدیکی گلوگاه که تغییرات خواص شدیدتر است، تعداد تقسیم بندی بیشتر بوده است. در هر المان حجم، تمام خواص ترمودینامیکی و تشعشعی یکنواخت فرض شده‌اند (همین طور در هر المان سطح).

۲- محاسبات هندسی از قبیل حجم هر ناحیه، سطح هر ناحیه پوسته، سطح مقطع متوسط جریان و طول متوسط تشعشع در هر ناحیه انجام می‌شود. طول متوسط تشعشع هر ناحیه حجمی به استوانه‌ای با نسبت  $1 \times \frac{L}{D}$  مربوط می‌شود. طول متوسط تشعشع با برآوردهای از اطلاعات موجود در مرجع [۷] که در آن این طول برای  $L/D$  های تا  $\frac{1}{2}$  داده شده، به دست آمده است.

۳- شرایط ترمودینامیکی گاز در هر ناحیه با استفاده از روابط انساط ایزونتروپیک گازایده‌آل به دست آمده‌اند. این روابط عبارتند از:

$$\frac{A}{A^*} = \frac{1}{M} \left[ \left( \frac{2}{K+1} \right) \left( 1 + \frac{K-1}{2} M^2 \right) \right]^{\frac{K+1}{2(K-1)}} \quad (15)$$

$$\frac{T_0}{T} = 1 + \frac{K-1}{2} M^2 \quad (16)$$

$$\frac{P_0}{P} = \left( 1 + \frac{K-1}{2} M^2 \right)^{\frac{K}{K-1}} \quad (17)$$

ابتدا از رابطه (۱۵) عدد ماخ  $M$  و سپس از معادلات (۱۶) و (۱۷) به ترتیب درجه حرارت و فشار گاز در هر ناحیه محاسبه شده‌اند.

۴- با توجه به معلوم بودن درصد حجمی هریک از محصولات احتراق، فشار جزئی گاز کربنیک و بخار آب محاسبه می‌شوند. آنگاه با در دست داشتن پارامترهای لازم، ضریب صدور متوسط گاز غیر درخشان از منحنیهای هائل [۷] و معادله (۳) به دست می‌آید. سپس با استفاده از معادله (۷) ضریب صدور گاز درخشان محاسبه می‌شود.

ضریب جذب متوسط گاز از رابطه زیرینه دست می‌آید [۵]:

$$\alpha = \frac{\ln(1 - \varepsilon_1)}{L_c} \quad (18)$$

۵- پس از معلوم شدن مشخصات هندسی هر سطح و هر ناحیه، با استفاده از معادلات (۹) و (۱۲) می‌توان ضرایب تبادل مستقیم حجم به سطح و سطح به سطح رایه دست آورد. نخ تبادل حرارت سطح به سطح به دو دلیل کم است: یکی جذب مقداری از تشعشع صادره از سطح به وسیله گاز و دیگری پایین بودن نسبی درجه حرارت سطح و عدم تغییرات قابل ملاحظه در آن. بنابراین بادقت

## استقلال

خوبی می‌توان از جمله دوم داخل کروشه در معادله (۱۱) صرف نظر کرده و درنتیجه نیازی به محاسبه  $\overline{s_{jk}}$  نخواهد بود. محاسبه  $\overline{g_{\alpha\beta}}$  به روش عددی و به شرحی که در پیشیمۀ آمده است، انجام می‌شود.

۶- در مرحله بعد معادلات (۱۱) و (۱۳) و (۱۴) حل می‌شوند. اگر این معادلات برای سطح جزئی ایزوترم نوشته شوند،  $3N$  معادله به دست خواهد آمد. اما برای هرالمان سطح،  $4N$  مجهول یعنی  $q_i$ ،  $q_0$  و  $T$  وجود دارد (دراینجا  $N$  تعداد المانهاست). برای حل معادلات بایستی توزیع دمای سطح معلوم باشد. برای این منظور ابتدا  $\overline{\alpha}$  صد و دانزی از سطح در مقابل گاز صرف نظر می‌کنیم. این عمل چندان غیر معقول نیست، زیرا پوسته نازل به روش بازیابی<sup>۱</sup> با ساخت خنک می‌شود و این عمل باعث می‌شود که درجه حرارت سطح بسیار کمتر از گاز باشد، البته محاسبات نه تنها برای دمای دیواره برابر با صفر بلکه برای دمای دیواره برابر با  $K$ ،  $800$  K،  $1000$  و  $1200$  هم انجام شده و نتایج مربوطه در همین مقاله آمده است. محاسبات مربوط به دمای صفر درجه برای دیوار از آن جهت اهمیت دارد که بیشترین مقدار انتقال حرارت تشبعشی به دیوار را به دست می‌دهد و این امر از جهت رعایت اختیاط و درنظر گرفتن یک ضریب اطمینان مفید است. تعیین توزیع دمای دیواره موضوع مقاله نیست بلکه بالنجام تجزیه و تحلیل حرارتی کل نازل همراه با سیال خنک کن وجایجایی و تشعشع در گازی به دست می‌آید.

### روش محاسبات کامپیوترا

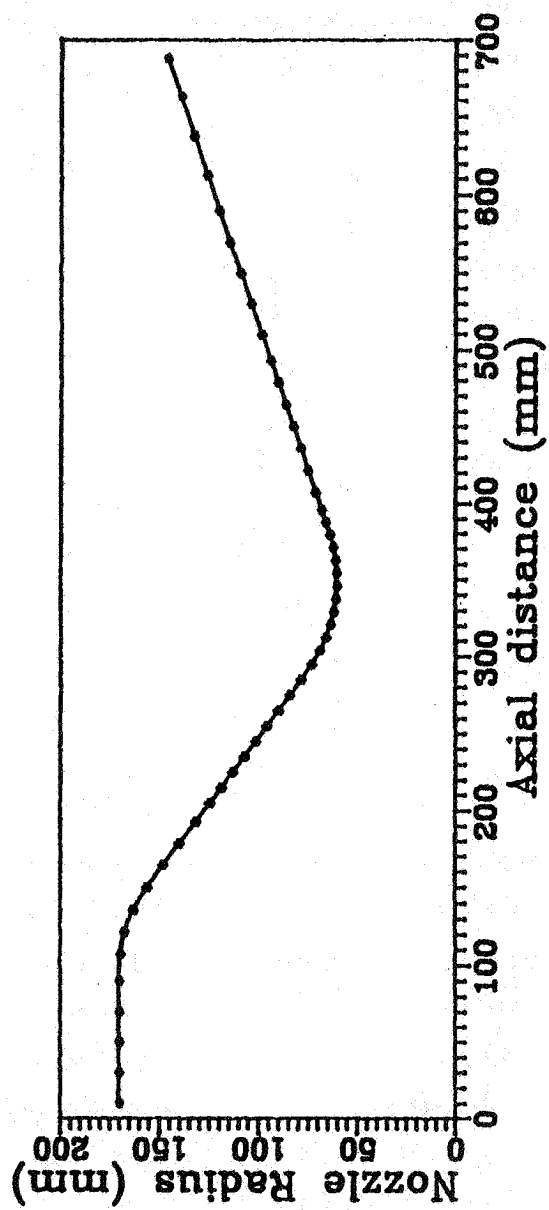
برنامه کامپیوترا نوشته شده شامل چند برنامه فرعی است تا انتقال لازم برای انجام محاسبات برای نازلهای بابعاد مختلف را دارا باشد. ورودیهای مختلفی برای برنامه درنظر گرفته شده است که اهم آنها به قرار زیر است:

وارد کردن شکل هندسی - با استفاده از اطلاعات موجود در نقشه نازل، شکل هندسی آن به صورت نقاط ( $R$  و  $x$ )، تعداد تقسیمات در طول نازل و نیز تمرکز این تقسیمات وارد کامپیوترا می‌گردد. این تقسیمات در ناحیه سطح مقطع ثابت اطاق احتراق نیز گسترش یافته است. شکل ۳ نمونه تقسیمات و شکل هندسی نازل مورد مطالعه دراین مقاله را نشان می‌دهد.

اطلاعات ترمودینامیکی - این اطلاعات مقداری بری چون  $T_0$ ،  $P_0$  و درصد گازهای موجود در محصولات احتراق و نسبت گرمایهای ویژه را شامل می‌شود.

---

### 1. Regeneration



شکل ۲ - نمودار هنگامی شیروده نموده و کیفیت تسبیمات آن

اطلاعات خواص تشعشعی - این دسته اطلاعات شامل منحنی‌های ضرایب صدورگازکربنیک و بخار آب و منوکسیدکربن و ضرایب تصحیح فشاربرای این گازها بر حسب پارامترهای هندسی و ترمودینامیکی است.

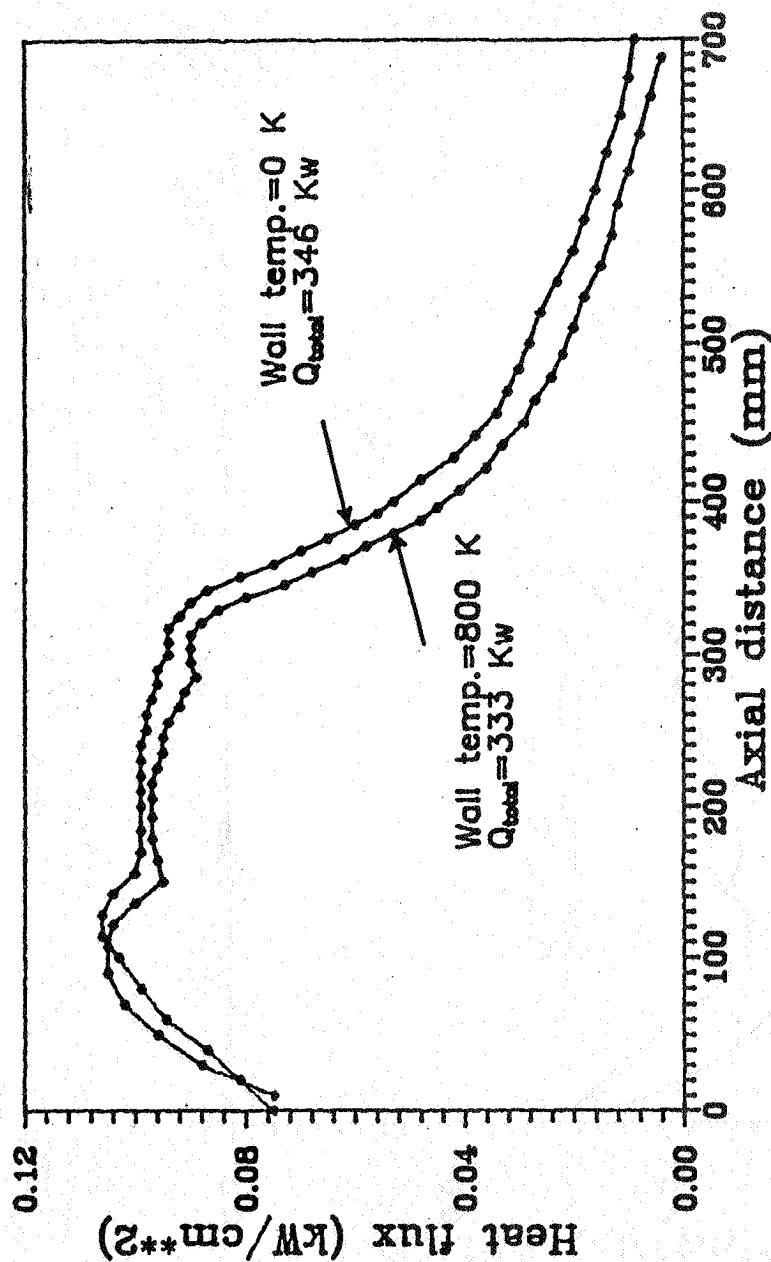
چون هر دسته از منحنی‌ها دارای حداقل سه پارامتر است، بجای وارد کردن کل منحنی‌ها به داخل کامپیوتر از برآش منحنی<sup>۱</sup> استفاده می‌شود. به این ترتیب که هر منحنی به وسیله یک چند جمله‌ای با روشن حداقل مربعات<sup>۲</sup> تقریب زده می‌شود. قبل از حل معادلات نزخ انتقال حرارت تشعشعی (یعنی معادلات (۱۱)، (۱۳) و (۱۴))، محاسبات هندسی، ترمودینامیکی و خواص تشعشعی باستی انجام شود. روش‌های انجام این محاسبات قبلًا بیان شده‌است. مثلاً عدم دمای  $M$ ، با استفاده از روش نیوتون - رافسون (معادلات ۱۵ تا ۱۷) محاسبه می‌شود. چون عدم دمای رادرگلوگاه برابر ۱ گرفتیم، لذا حدس اولیه برای قسمت همگرای نازل کوچکتر از ۱ و برای قسمت واگرای بزرگتر از ۱ در نظر گرفته می‌شود. ضریب تبادل مستقیم حجم به سطح به روش عددی، چنان‌که در ضمیمه آمده، محاسبه می‌شود.

#### بحث برروی نتایج

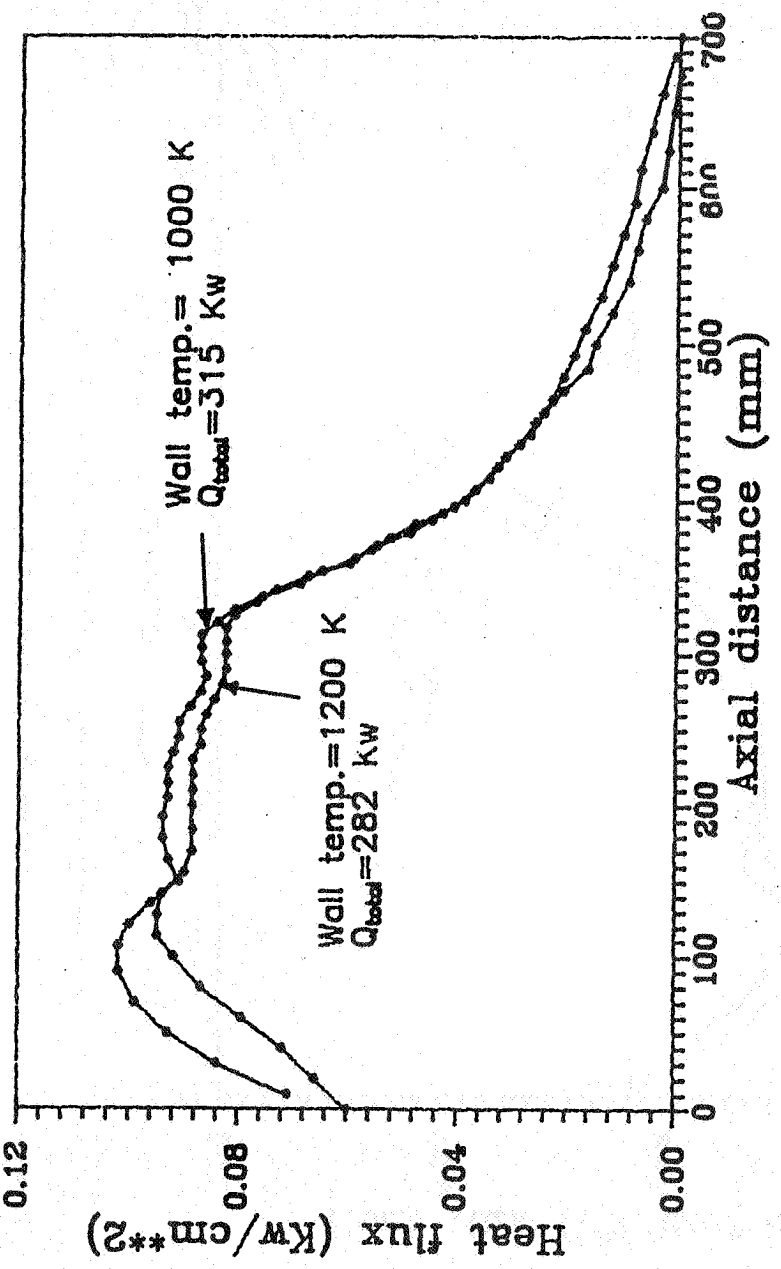
محاسبات انتقال حرارت برای نازلی که شکل و نحوه تقسیمات آن در شکل ۳ آمده است، انجام شد. اطلاعات ورودی دیگر به ترتیب زیراست:

$$\begin{array}{lll} T_0 = 2700 \text{ K} & K = 1/2 & H_2O = \% ۳۳ \\ P_0 = 60 \text{ atm} & CO_2 = \% ۱۳ & CO = \% ۲۵ \end{array}$$

منحنی‌های نزخ انتقال حرارت تشعشعی بر واحد سطح در طول نازل در شکل‌های ۴ و ۵ برای درجه حرارت‌های متوسط سطح صفر،  $K$ ،  $800$ ،  $1000$  و  $1200$  نشان داده شده‌اند. قبل از بحث برروی این منحنی‌ها، دقت تقریب‌های بکار رفته در بخش ضمیمه برای محاسبه ضریب تبادل مستقیم حجم به سطح  $\delta_k$  را مورد توجه قرار می‌دهیم. مقادیر تقریبی به دست آمده از روش بخش ضمیمه با مقادیر دقیق تراحت از معادله (۹) برای چند مورد مقایسه شده‌اند و مقدار خطاطا<sup>۳</sup> درصد کمتر بوده است. چون این تقریب در کاهش مصرف وقت کامپیوتر تأثیر مهمنی دارد، در این محاسبات مورد استفاده قرار گرفته است.



شکل ۴ - نزد انتقال حرارت خالص بر واحد سطح دیواره بر حسب  
فاصله از ورودی در دمای دیواره ۰ - ۸۰۰ K



شکل ۵ - نمودار نرخ انتقال حرارت خالص بر واحد سطح دیواره بر حسب  
ناصله از ورودی در دمای دیواره ۰ - ۱۰۰۰ K

مقدار کل نرخ انتقال حرارت تشعشعی از گازیه پوسته نازل بالاترگرال گیری شدت انتقال حرارت روی تمام سطح پوسته به دست می‌آید. برای دمای سطح  $K = 800$  این مقدار یا مقدار انتقال حرارت جابجایی که جداگانه محاسبه شده است، مقایسه گردید و معلوم شد که در این شرایط تشعشع حرارتی  $10$  درصد جابجایی را تشکیل می‌دهد. این نتیجه با توجه به آنچه که ساتون<sup>۱</sup> در مرجع [۱] بیان کرده، مبنی بر اینکه انتقال حرارت تشعشعی حدود  $5$  تا  $35$  درصد کل انتقال حرارت از گازیه پوسته را تشکیل می‌دهد سازگار است.

نکته قابل توجه دیگر تغییرات نرخ انتقال حرارت تشعشعی برواح سطح در طول نازل است. این تغییرات در شکل‌های  $4$  و  $5$  برای درجه حرارت‌های متفاوت سطح نشان داده شده است. محور مختصات افقی این شکل همان‌نگ با شکل  $3$  تقسیم بندی شده است تا با مقایسه با این شکل موقعیت هندسی هر مقطع به آسانی قابل تشخیص باشد. تمام این شکلهای نشان می‌دهند که حداقل نرخ انتقال حرارت در انتهای محفظه احتراق و در ابتدای نازل واقع می‌شود. علت این امر را باید در مقدار ضریب تبادل مستقیم یعنی  $k_{H_2O}$  و یا به عبارت دیگر کل تشعشع رسیده به هر المان سطح از گاز جستجو نمود. به طور کلی هر المان سطح بیشترین حرارت را زال‌مانهای حجم نزدیک خود دریافت می‌کند، زیرا قسمت اعظم تشعشع صادره از المانهای حجم دور دست در طول مسیر به وسیله گاز جذب می‌شود.

در ابتدای اطاق احتراق، فقط المانهای حجم پایین دست جریان به المان سطح حرارت می‌دهند. ولی در درودی به نازل، این حرارت از طرفین المان سطح که قاعده‌تاً درجه حرارت بالای هم دارند به سطح می‌رسد.

نرخ انتقال حرارت تشعشعی قبل از گلوگاه به تدریج افت می‌کند ولی بعد از گلوگاه کاهش آن بسیار شدید است. علت این امریکی پایین بودن نسبی درجه حرارت گاز در قسمت واگرا و دیگری نبودن دیدکافی بین سطح پوسته در قسمت واگرا و گازهای داغ و فشاری بالا در قسمت همگرا و محفظه احتراق است.

موضوع حائز اهمیت دیگر تأثیر درجه حرارت سطح بر نرخ انتقال حرارت تشعشعی است. همان طوری که اشاره شده محاسبات با تخمین یک درجه حرارت متوسط برای سطح پوسته انجام شده است. مقایسه بین منحنیهای شکل  $4$  برای دماهای دیواره  $0$  و  $K = 800$  نشان می‌دهد که افزایش این

مقدار درجه حرارت در سطح کمتر از ۴ درصد کاهش در نرخ انتقال حرارت تشعشعی ایجاد می‌کند. ولیکن با افزایش بیشتر درجه حرارت سطح به  $K = 1000$  (شکل ۵) مقدار این کاهش انتقال حرارت به ۱۰ درصد و بالاتر از درجه حرارت سطح  $K = 1200$  این کاهش به ۲۰ درصد می‌رسد. درجه حرارت سطح بیشتر از  $K = 1200$  انتخاب نشده است؛ چون معمولاً این حداکثر دمای مجازی است که جنس پوسته نازل مورد نظر از نظر متالورژیکی می‌تواند تحمل کند. برای رعایت جانب احتیاط همان دمای دیواره صفر درجه را می‌توان مبنای کار قرارداد تا حد بالای درجه حرارت پوسته در محاسبات به دست آید. لازم به توضیح است که درجه حرارت پوسته با توجه به کل انتقال حرارت جابجایی و تشعشعی به سطح و شرایط سیال خنک کن پوسته بایستی محاسبه شود.

اطلاعات دقیق تجربی در مورد نقش انتقال حرارت تشعشعی و یا اصولاً انتقال حرارت از گاز به پوسته نازل در جریان گاز تراکم پذیر با فشار و دمای بالا در مراجع قابل دسترسی و غیر طبقه بنده شده در اختیار نویسنده‌گان این مقاله نبود تا بتوان مقایسه‌ای بهتر انجام داد. ولی به استناد مراجع معتبر [۳]، [۴] و [۷]، روش ناحیه بنده از دقت بالایی برخوردار است و اصولاً دقت نتایج سایر روشهای ابانتایج حاصل از این روش سنجیده می‌شود.

### نتیجه گیری

در این مقاله، انتقال حرارت تشعشعی از گازهای حاصل از احتراق در موتور راکت در فشارهای بالا به پوسته نازل مورد بررسی قرار گرفت. برای این منظور از مدل ناحیه بنده هائل استفاده شد که در حال حاضر مبنای مقایسه و سنجش دقت در روشهای دیگر است. رابطه ضریب صدور کلی گاز در فشار بالا که در این مدل بکار رفته از دقت خوبی برخوردار است. منحنیهای توزیع نرخ انتقال حرارت تشعشعی از گاز به دیواره در طول نازل و برای درجه حرارت‌های مختلف سطح دیواره از صفر تا  $K = 1200$  رسم شد. به طور کلی با افزایش درجه حرارت سطح، نرخ انتقال حرارت تشعشعی کلی کاهش یافته است. نتایجی که در این تحقیق برای نرخ انتقال حرارت تشعشعی به دست آمده، در حدود مقادیری است که در مرجع [۱] ارائه شده است.

## مراجع:

1. Sutton, G. P., *Rocket Propulsion Elements*, Fifth ed., John Wiley and Sons, 1968.

2. Smoot, D. L. and Smith, P. J., *Coal Combustion and Gasification*, Plenum press, N. Y., 1984.

3. Khalil, E. E., *Modelling Furnaces and Combustors*, Abacus Press, Tunbridge Wells, Kent, 1982.

4. Viskanta, R. and Menguc, M. P., "Radiation Heat Transfer" in *Combust. Sci.*, Vol. 13, 1987.

Afgan, N. H. and Beer, J. M., *Heat Transfer in Flames*, Scripta Book Company, Wash., 1974.

Lefebvre, A. H., "Flame Radiation in Gas Turbine Combustion Chamber", *Int. Heat Mass Transfer*, Vol. 27, PP 1493-1510, 1984.

Hottel, H. C. and Sarofim, A. F., *Radiative Transfer*, McGraw-Hill, 1967.

Siegel, R. and Howell, J. R., *Thermal Radiation Heat Transfer*, McGraw Hill, 1971.

5. Shapiro, A. H., *Compressible Fluid Flow*, John Wiley and Sons, 1953.

۱۰- محمد پسندیده فرد، بررسی انتقال حرارت تشعشعی در نازلها، تزفوق لیسانس دانشکده مهندسی مکانیک، دانشگاه صنعتی اصفهان، اردیبهشت ۱۳۶۸.

## ضمیمه

محاسبه ضریب تبادل مستقیم  $\overline{g_{\alpha} s_k}$

حجم ایزوترم  $V_{\alpha}$  و سطح ایزوترم پوسته  $A_k$  مطابق شکل الف - ۱ را درنظر بگیرید. با توجه به پارامترهای هندسی نشان داده شده در این شکل، معادله (۹) به صورت زیرنوشته می شود:

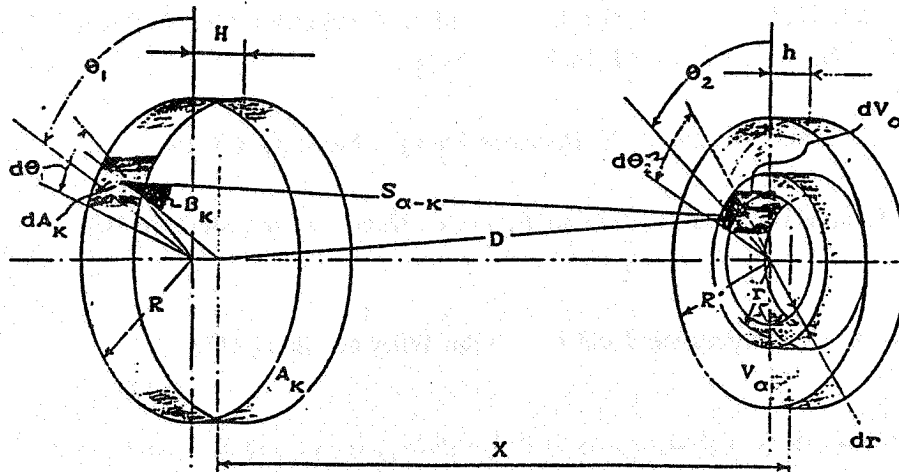
(الف - ۱)

$$\overline{g_{\alpha} s_k} = \frac{\alpha}{\pi} \cdot H \cdot R \cdot h \int_{r=0}^{R'} \int_{\theta_1=0}^{2\pi} \int_{\theta_2=0}^{2\pi} \frac{r[R-r \cos(\theta_1-\theta_2)] \cdot \exp\left[-\int \alpha(s^*) \cdot ds^*\right]}{\left[X^2 + R^2 + r^2 - 2 \cdot r \cdot R \cos(\theta_1 - \theta_2)\right]^{3/2}} d\theta_1 \cdot d\theta_2 \cdot dr$$

بعد از ساده کردن با توجه به تقارن شکل (رجوع شود به مرجع [۱۰]) خواهیم داشت:

$$\overline{g_{\alpha} s_k} = 4\alpha \cdot H \cdot R \cdot h \int_{r=0}^{R'} \int_{\theta=0}^{\pi} \frac{r[R-r \cos(\theta)] \cdot \tau(s_{\alpha-k})}{\left[X^2 + R^2 + r^2 - 2 \cdot r \cdot R \cos(\theta)\right]^{3/2}} d\theta \cdot dr; \quad (\text{الف - ۲})$$

$$\tau_{\lambda}(s_{\alpha-k}) = \exp\left[-\int_{s_k}^{s_k} \alpha(s^*) \cdot ds^*\right]$$



شکل الف - ۱ موقعیت هندسی المانهای حجم و سطح

ضریب عبور  $(s_{\alpha-k})_{av}$  را می‌توان با تقریب به طریق عددی محاسبه نمود:

$$\begin{aligned} \int_{s_\alpha}^{s_k} \alpha(s^*) \cdot ds^* &= \sum_{i=1}^{n_k} \alpha(s^*) \cdot \Delta s^* = \sum_{i=1}^{n_k} \alpha_i \cdot \Delta s_i \\ &= \sum_{i=1}^{n_k} \alpha_i \cdot H_i \frac{s_{\alpha-k}}{X} = \left[ (\sum_{i=1}^{n_k} \alpha_i \cdot H_i) / X \right] \cdot s_{\alpha-k} \end{aligned} \quad (\text{الف-۳})$$

که در آن  $H_i$  عرض ناحیه  $i$  و  $\alpha_i$  ضریب جذب آن ناحیه است. بقیه پارامترها در شکل الف-۱ نشان داده شده‌اند.

قدم بعدی استفاده از یک مقدار تقریبی ثابت برای  $s_{\alpha-k}$  است که مقدار دقیق آن از  $\sqrt{X^2 + (R-r)^2}$  تا  $\sqrt{X^2 + (R+r)^2}$  تغییرخواهد کرد. این تقریب به صورت زیراست:

$$(s_{\alpha-k})_{av} = \sqrt{X^2 + R^2} \quad (\text{الف-۴})$$

که با استفاده از آن کمیت  $(S_{\alpha-k})_{av}$  از داخل انتگرال معادله (الف-۲) خارج می‌شود. در قسمت بحث روی نتایج توضیح داده شده که این تقریب در محاسبه ضریب تبادل مستقیم تأثیر محسوسی در نتایج انتقال حرارت تشعشعی نمی‌گذارد ولیکن حجم محاسبات را بطور قابل ملاحظه‌ای کاهش می‌دهد. با استفاده از معادله (الف-۲) و (الف-۴) خواهیم داشت:

$$\tau_\lambda(s_{\alpha-k}) = \exp \left[ -A \cdot (s_{\alpha-k})_{av} \right] \quad (\text{الف-۵})$$

$$\overline{g_\alpha s_k} = 4 \cdot \alpha \cdot H \cdot R \cdot h \cdot \exp \left[ -A \cdot \sqrt{X^2 + R^2} \right] \cdot \int_{r=0}^{\pi} \int_{\theta=0}^{R'} f(r, \theta) \cdot dr \cdot d\theta \quad (\text{الف-۶})$$

که در آنها

$$A = \left( \sum_{i=1}^{n_k} \alpha_i \cdot H_i \right) / X \quad (\text{الف-۷})$$

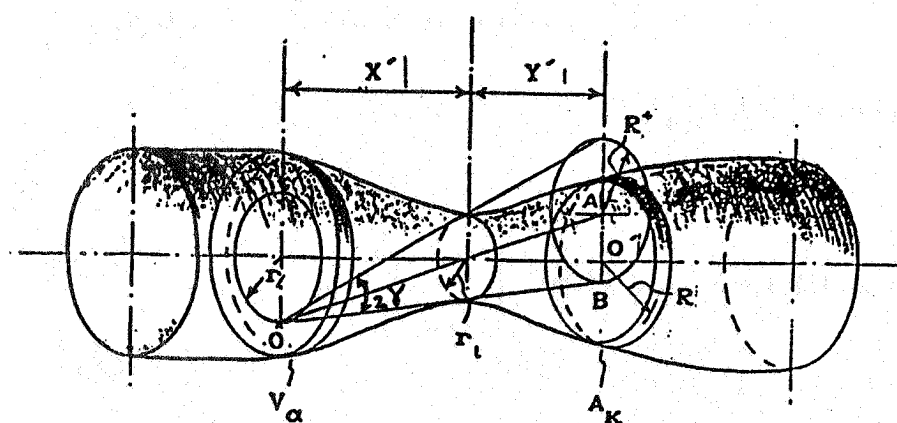
$$f(r, \theta) = \frac{r \cdot [R - r \cos(\theta)]}{[X^2 + R^2 + r^2 - 2 \cdot r \cdot R \cdot \cos(\theta)]^{3/2}} \quad (\text{الف - ۸})$$

البته مقدار انتگرال زیر:

$$J = \int_{r=0}^{R'} f(r, \theta) \cdot dr \quad (\text{الف - ۹})$$

به طریق تحلیلی قابل محاسبه است (مرجع [۱۰]). تقریب فوق زمانی قابل استفاده است که المانهای حجم و سطح در یک طرف گلرگاه قرار داشته باشند. اگر  $V_\alpha$  و  $A_K$  مطابق شکل الف - ۲ در در طرف گلرگاه باشند، ممکن است حالتهای مختلفی پیش آید. مثلاً سطح  $V_\alpha$  و حجم  $A_K$  همیگر را کاملاً نبینند و یاد یاد جزئی داشته باشند. با توجه به شکل الف - ۲ اگر نقطه ۰ از حجم  $V_\alpha$  کل سطح  $V_\alpha$  را تحت زاویه  $2\gamma$  رویت کند، بالنجام یک روش محاسبات هندسی خواهیم داشت:

$$\gamma = \cos^{-1} \left[ \frac{R^2 + r^2 \cdot Y'^2 / X'^2 - R'^2}{2 \cdot R \cdot r \cdot Y' / X'} \right] \quad (\text{الف - ۱۰})$$



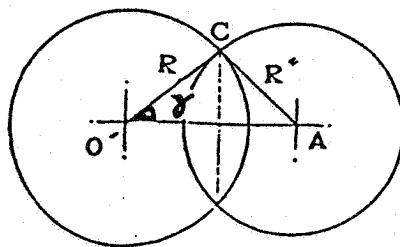
شکل الف - ۲ - موقعیت زاویه دید المانهای واقع در در طرف گلرگاه

در حالتهای خاص، با توجه به شکل الف - ۳ می‌توان مقدار زاویه دیدربا به صورت زیریه دست آورد.

$$A'_0 \geq R + R'' ; \gamma = 0 \quad (الف - ۱۱)$$

$$A'_0 < |R - R''| ; \begin{cases} R > R'' & \gamma = 0 \\ R < R'' & \gamma = \pi \end{cases}$$

$\gamma = 0$  یعنی اینکه دو المان نسبت به هم اصلاً دید ندارند و  $\gamma = \pi$  یعنی دو المان هم‌دیگر را کاملاً می‌بینند. در سایر موارد مقدار  $\gamma$  بایستی از ارابطه کلی (الف - ۱۰) محاسبه شود.



شکل الف - ۳ - نمایش زاویه دیدباتوجه به موقعیت هندسی المانها

بنابراین اگر دو المان حجم و سطح در دو طرف گلوگاه نازل واقع باشند، ضریب تبادل مستقیم معادله (الف - ۲) بایستی در نسبت  $\frac{\gamma}{\pi}$  ضرب شود. یعنی:

(الف - ۱۲)

$$\overline{g_{\alpha s_k}} = \frac{\alpha}{\pi} H.R.h \sum_{r=0}^{R'} \frac{\gamma}{\pi} \sum_{\theta_1=0}^{2\pi} \sum_{\theta_2=0}^{2\pi} f(r, \theta_1, \theta_2) \cdot \exp \left[ -\sum_{s=0}^{s_{\alpha k}} \alpha(s^*) \cdot \Delta s^* \right] \Delta \theta_1 \cdot \Delta \theta_2 \cdot \Delta r$$

در این صورت تقریبهای بیان شده فوق فایده‌ای نخواهد داشت. زیرا دیگر  $\int_0^{R'} \gamma f dr$  از طریق تحلیلی قابل محاسبه نخواهد بود. لذا اگر المانهای حجم و سطح در یک طرف گلوگاه واقع باشند، از ارابطه زیراستفاده می‌شود:

$$\overline{g_{\alpha s_k}} = 4 \cdot \alpha \cdot H \cdot R \cdot h \cdot \exp \left\{ \left[ -(\sum_{i=\alpha}^{i_k} \alpha_i \cdot H_i) / X \right] \cdot \sqrt{X^2 + R^2} \right\} \cdot \sum_{\theta=0}^{\pi} J \cdot \Delta \theta \quad (الف - ۱۳)$$

اگر المانهادردو طرف گلرگاه واقع باشند خواهیم داشت:

$$\overline{g_\alpha s_k} = \frac{4}{\pi} \alpha \cdot H \cdot R \cdot h \sum_{r=0}^{R'} \cos^{-1} \left[ \frac{R^2 + r^2 \cdot Y'^2 / X'^2 - R''^2}{2 \cdot R \cdot r \cdot Y' / X'} \right] \sum_{\theta=0}^{\pi} f(r, \theta) \times \quad (الف-14)$$

$$\times \exp \left\{ \left[ -(\sum_{i=a}^{i=k} \alpha_i \cdot H_i) / X \right] \cdot s_{\alpha-k} \right\} \cdot \Delta \theta \cdot \Delta r$$

$$, f(r, \theta) = \frac{r \cdot [R - r \cdot \cos(\theta)]}{(s_{\alpha-k})^3}, \quad s_{\alpha-k} = [X^2 + R^2 + r^2 - 2 \cdot r \cdot R \cdot \cos(\theta)]^{1/2}$$